

Fig. 3

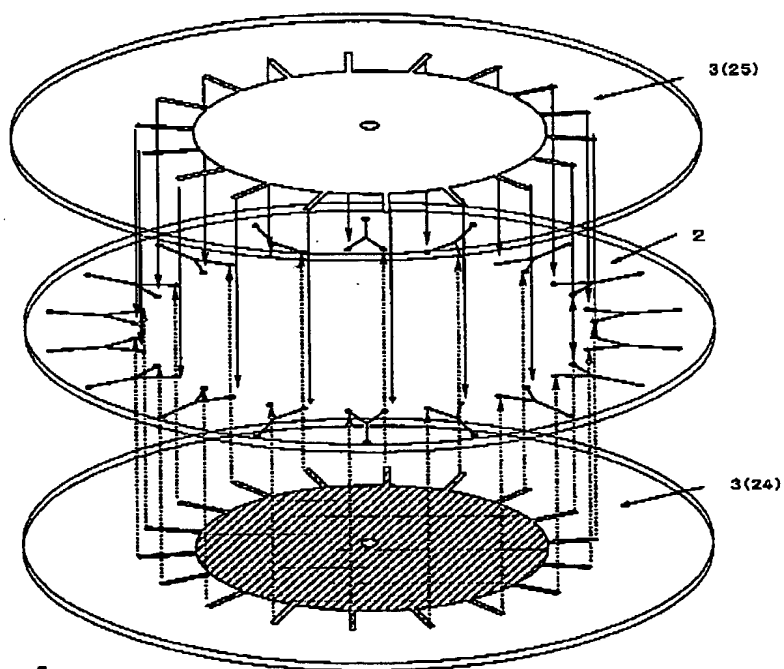


Fig. 4

Fig. 5(a)

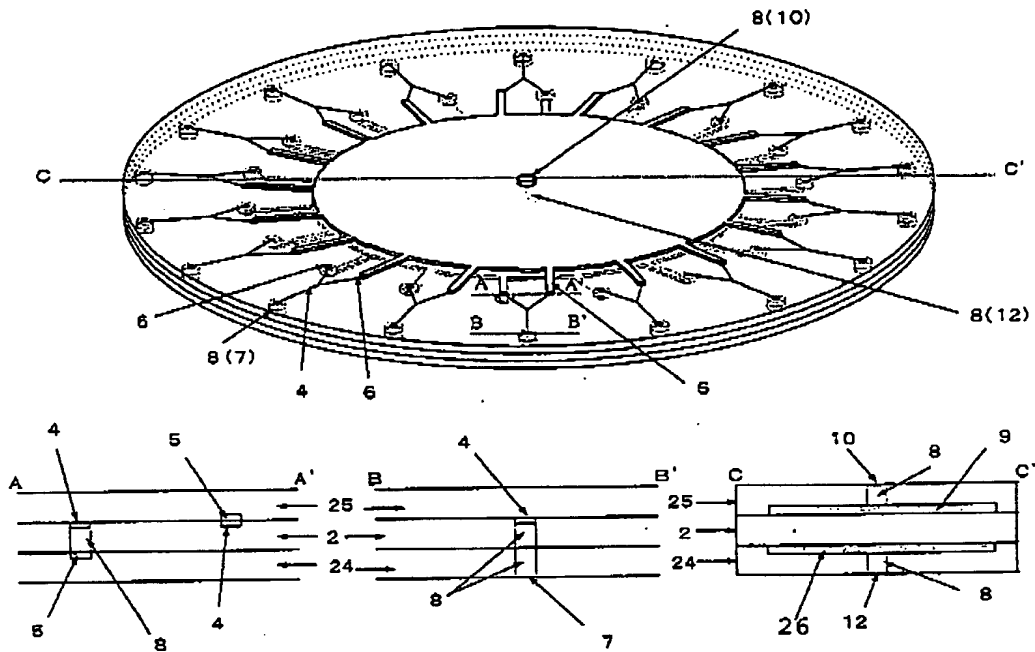


Fig. 5(b)

Fig. 5(c)

Fig. 5(d)

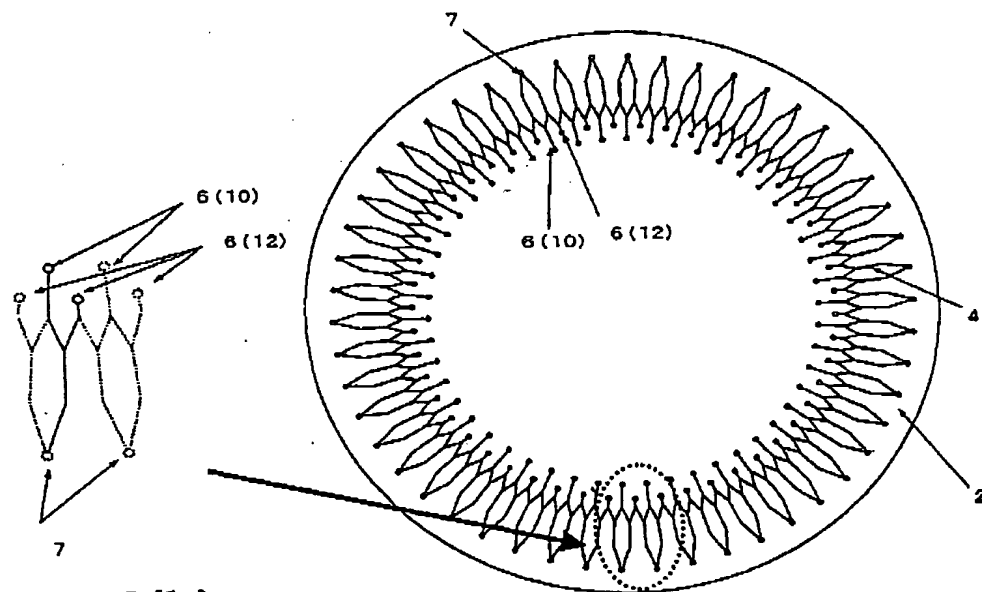


Fig. 6(b)

Fig. 6(a)

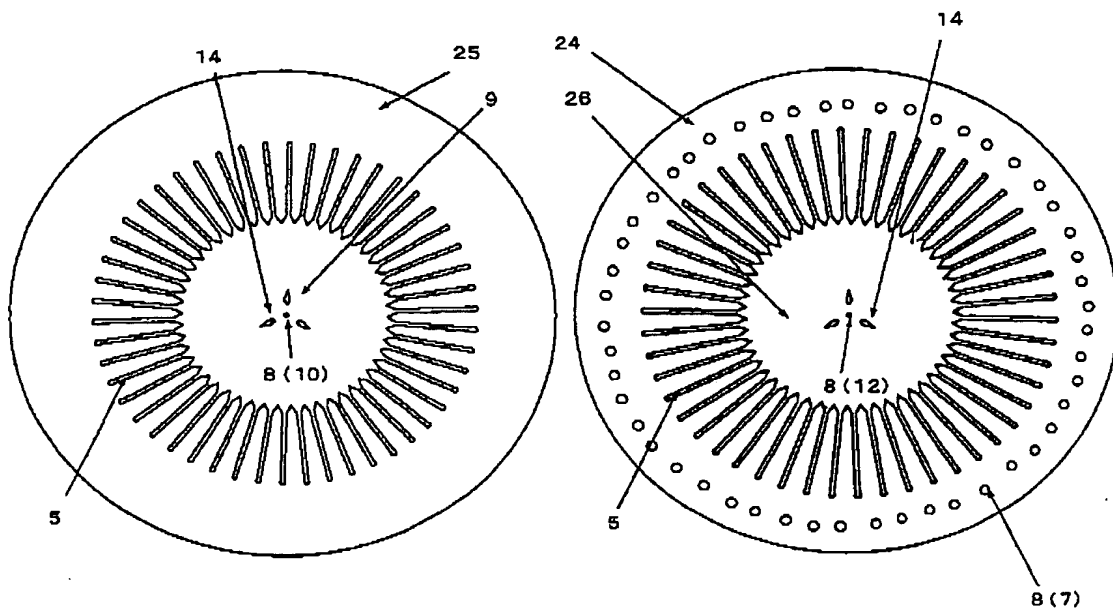


Fig. 7(a)

Fig. 7(b)

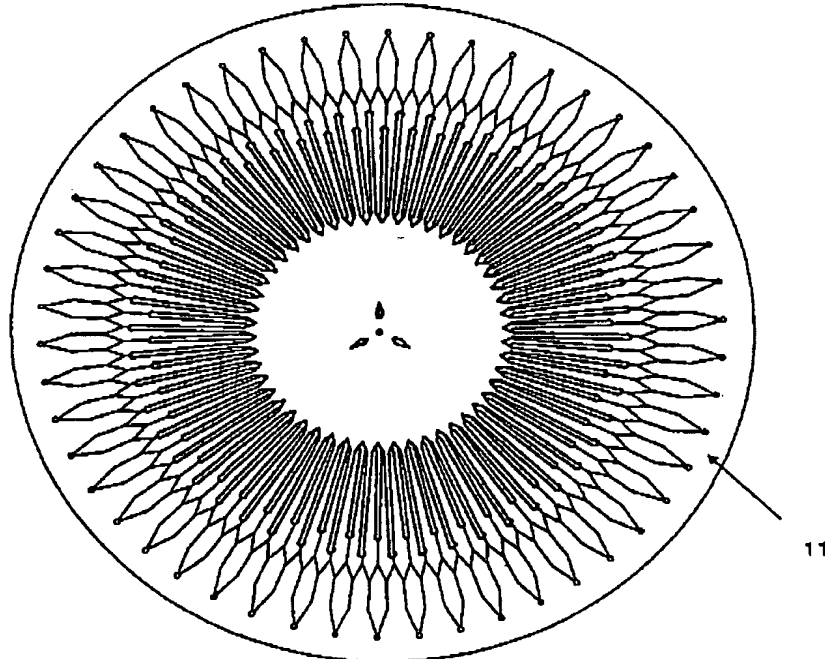


Fig. 8

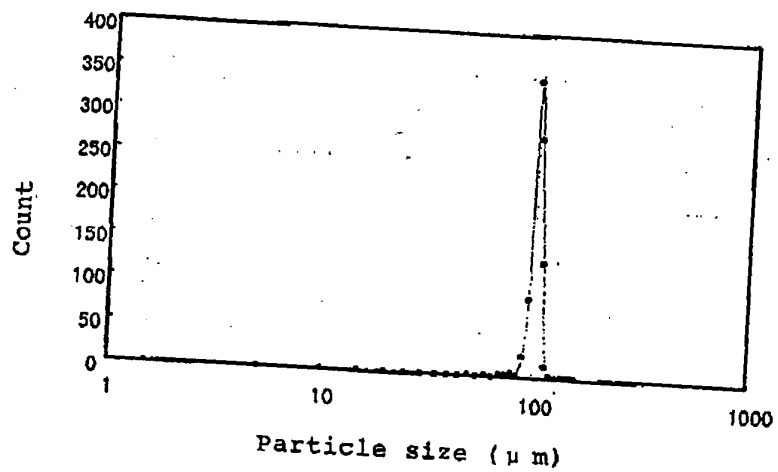
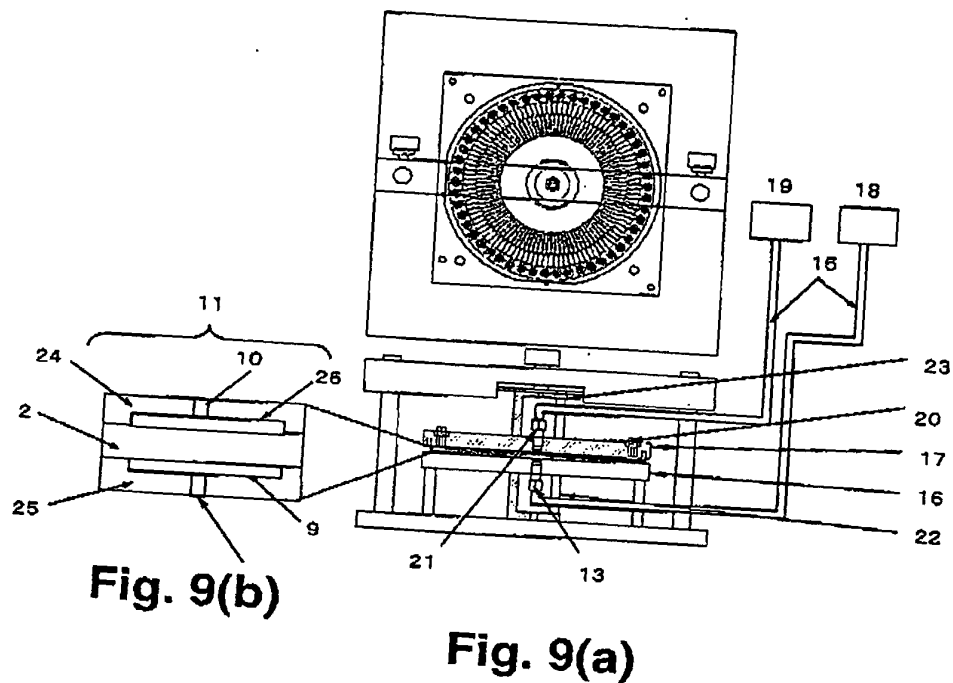


Fig. 10

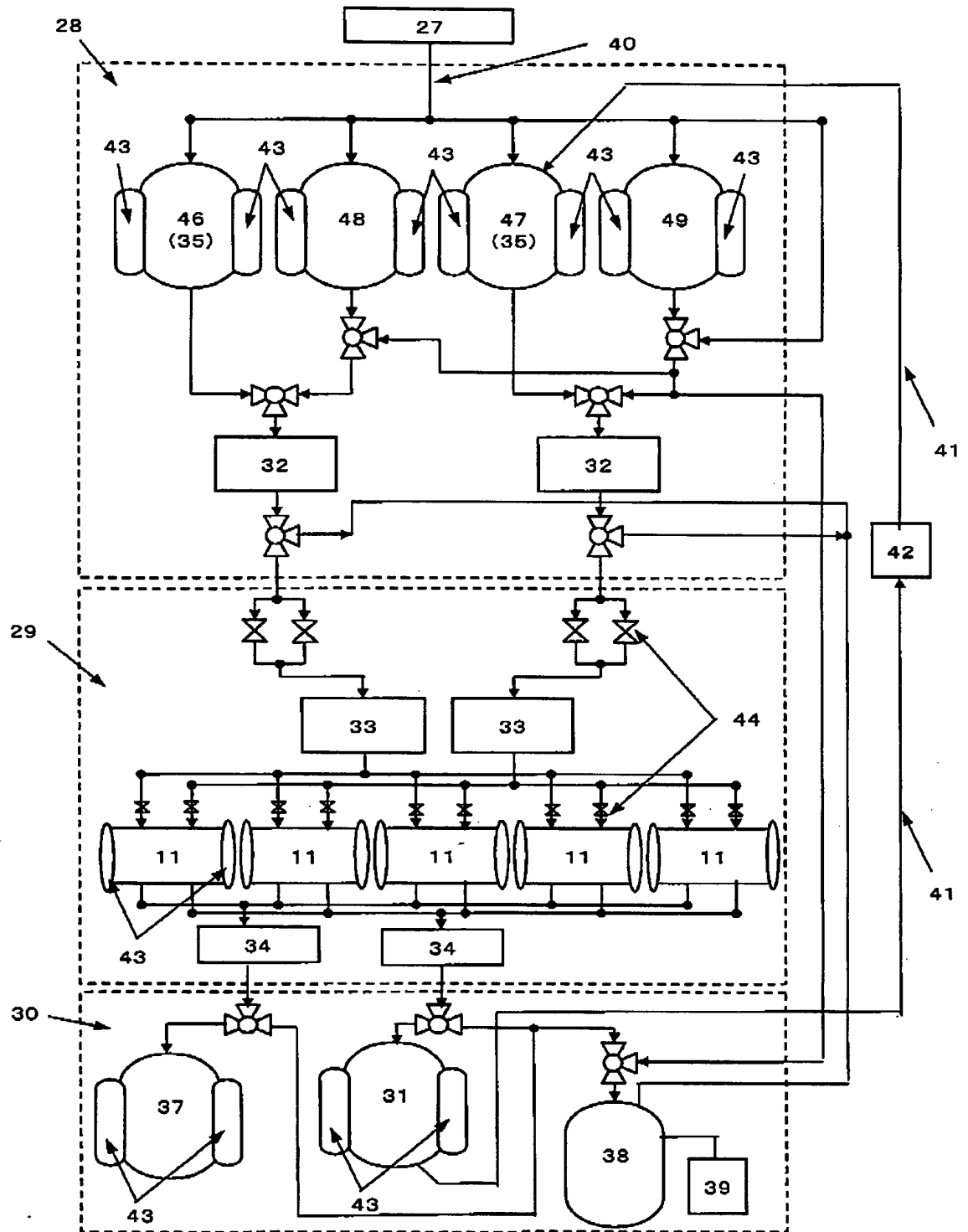


Fig. 11

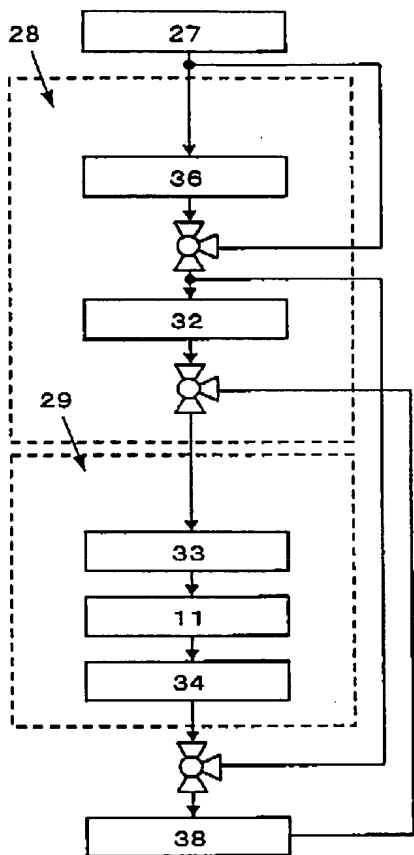


Fig. 12(a)

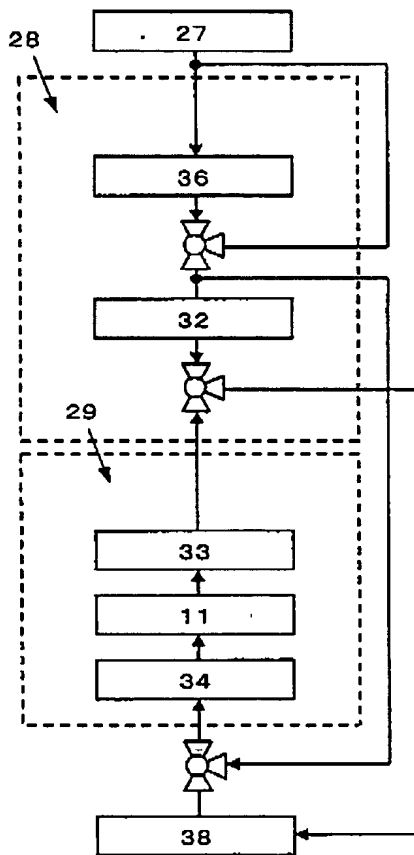


Fig. 12(b)

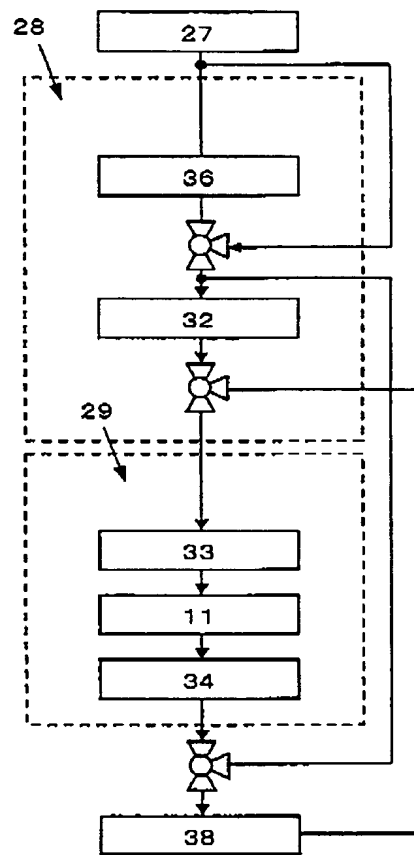


Fig. 12(c)

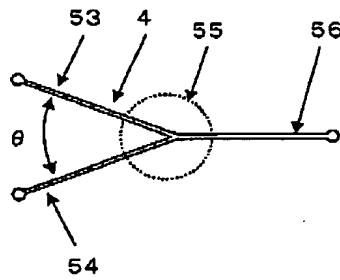


Fig. 13

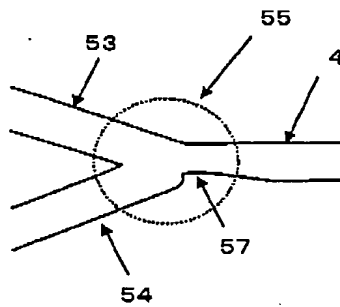


Fig. 14

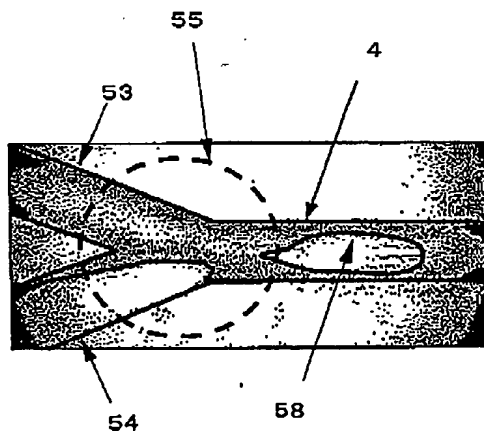


Fig. 15

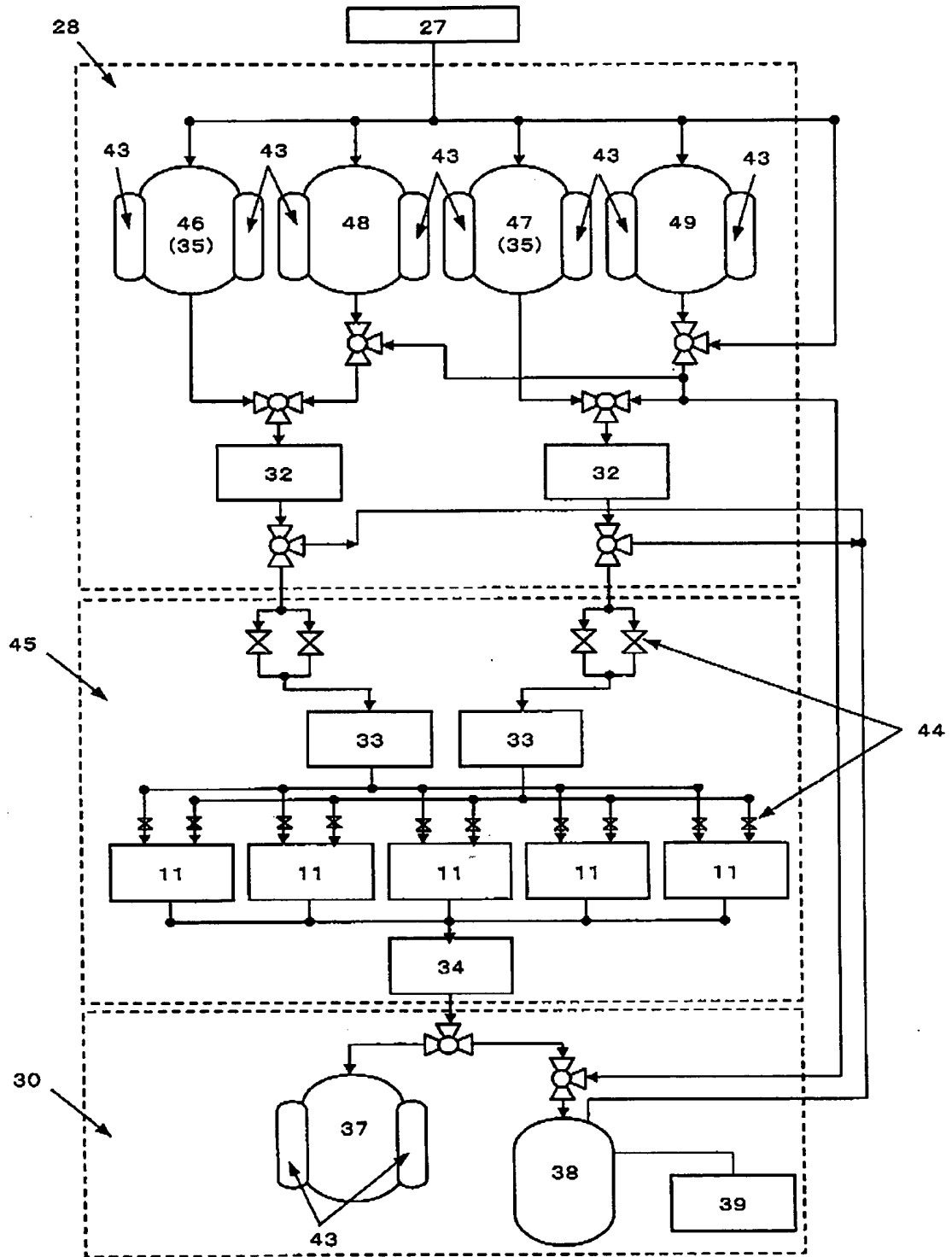


Fig. 16

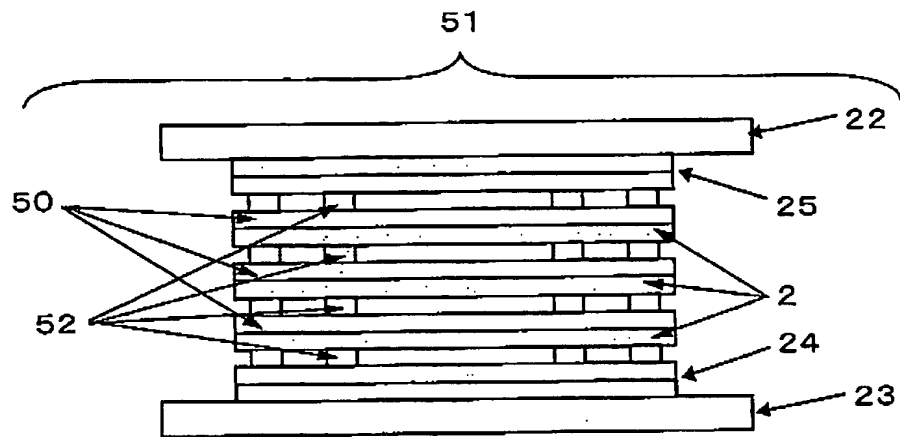


Fig. 17

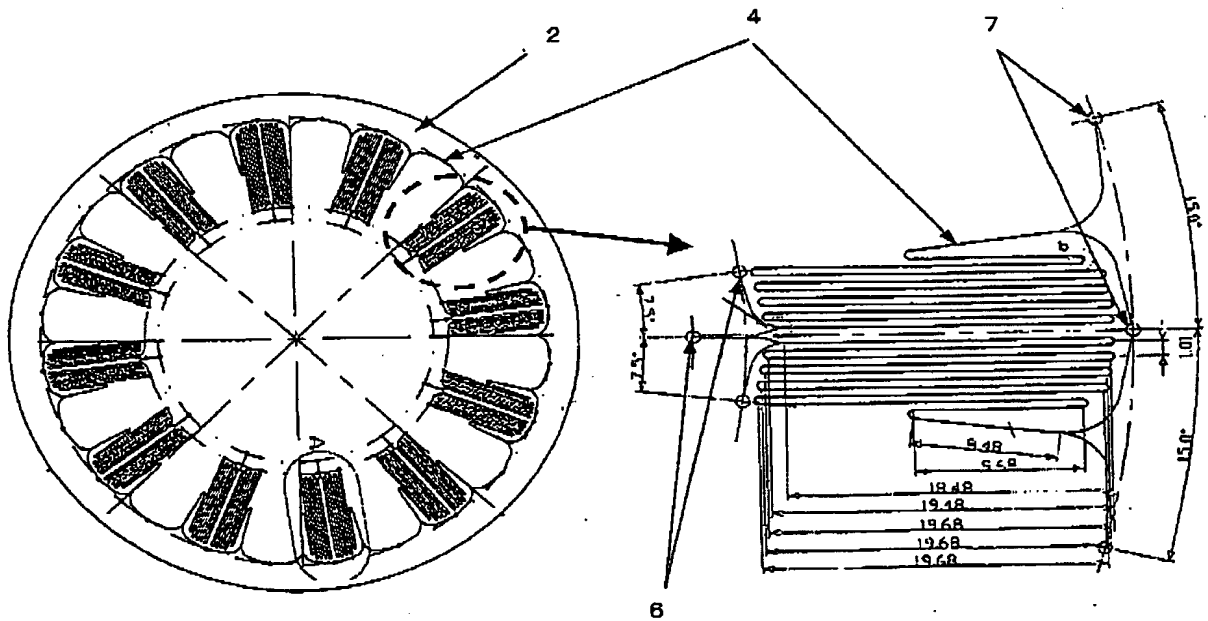


Fig. 18(a)

Fig. 18(b)

Enlarged view of
"A" portion (S=5/1)

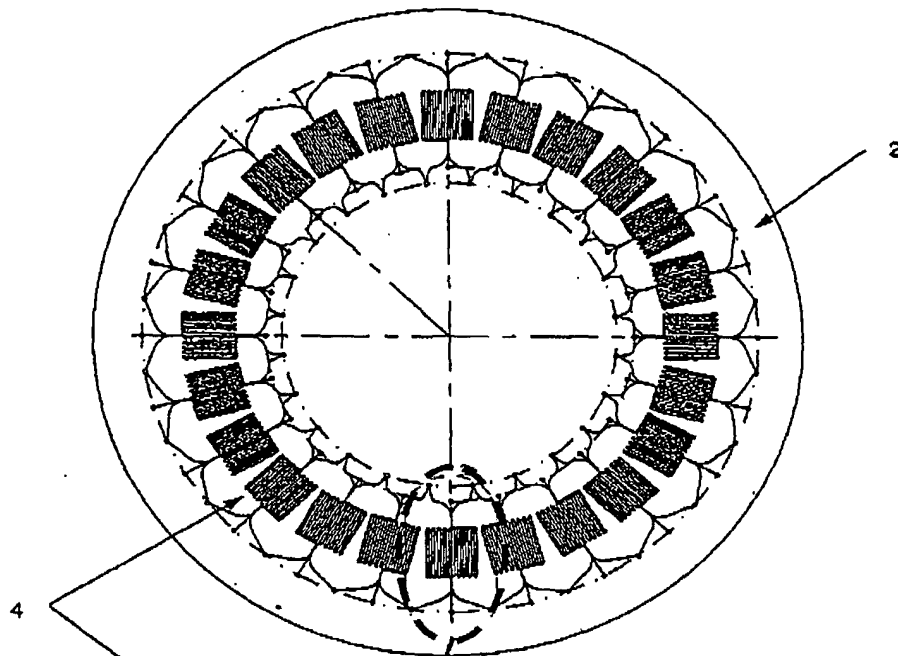
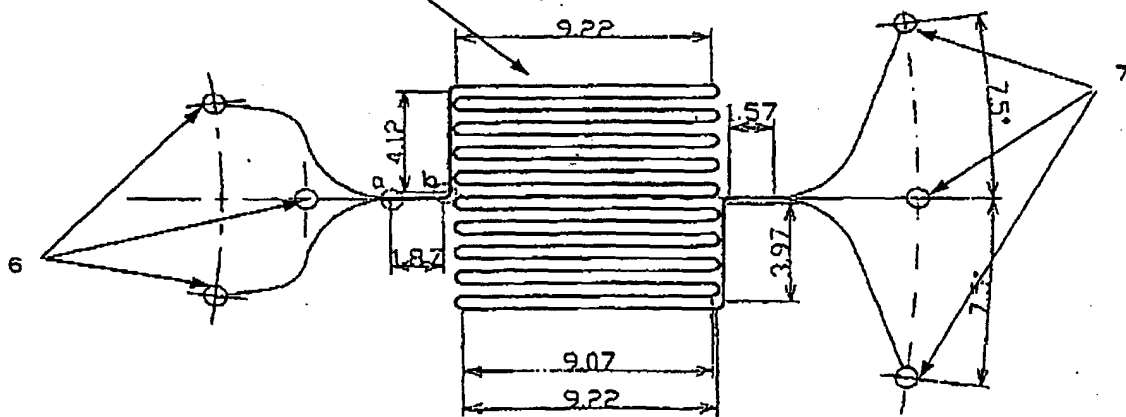


Fig. 19(a)



Enlarged view of
"A" portion (S=5/1)

Fig. 19(b)

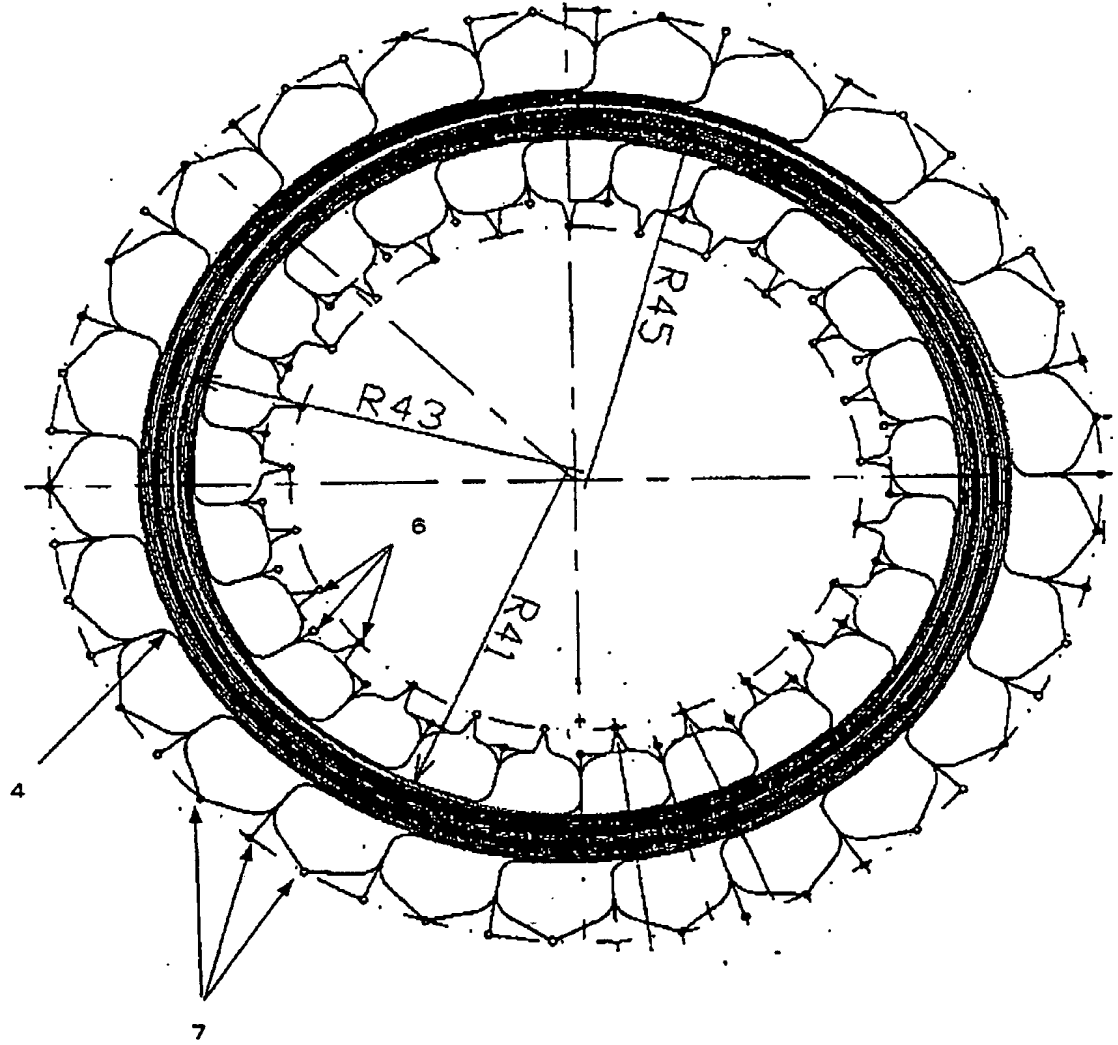


Fig. 20

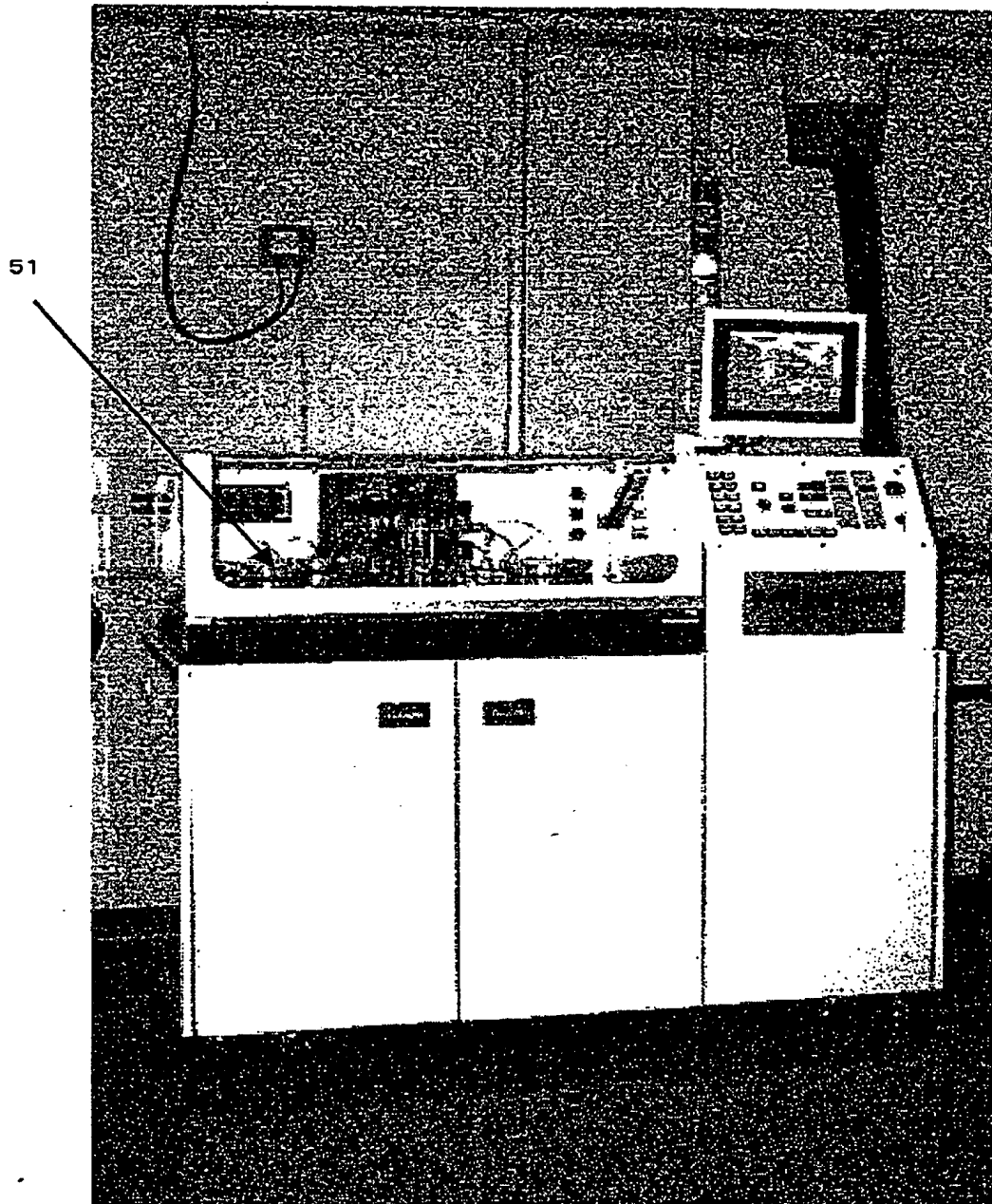


Fig. 21